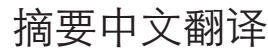
# 《亚洲男性学杂志》 2012年 14 卷 5 期 (p657-796)



Nature Publishing Group NPG

《亚洲男性学杂志》(AJA, 双月刊) 主办: 上海药物研究所 上海交通大学

主编: 王一飞 教授 2011年SCI影响因子: 1.521

网站: http://www.asiaandro.com

在线投稿: http://mc.manuscriptcentral.com/aja

Andrology

地址: 上海市太原路294号16号楼302室 电话: 021-5492-2824 传真: 021-5492-2825

E-mail: aja@sibs.ac.cn

电子版本阅读:

http://www.asiaandro.com http://www.nature.com/aja

#### 综述

670 ADT的骨骼并发症:疾病负担和治疗选择 Jacques Planas Morin and Juan Morote Robles

#### 论著

#### 口 男性生育

Y染色体基因CDY2和HSFY的缺失与美国男子非梗阻性无精子症的成熟停滞有关 676 Peter J Stahl, Anna N Mielnik, Christopher E Barbieri, Peter N Schlegel and Darius A Paduch

683 男性不育患者的精子数和精子性别比例研究

Michael L Eisenberg, Lata Murthy, Kathleen Hwang, Dolores J Lamb and Larry I Lipshultz

687 中国先天性双侧输精管缺如患者CFTR基因poly-T、TG重复和M470V多态性分析 Wu-Hua Ni, Lei Jiang, Qian-Jin Fei, Jian-Yuan Jin, Xu Yang and Xue-Feng Huang

691 中国人口中TP53和MDM2基因变异与男性不育 Cong Huang, Wei Liu, Gui-Xiang Ji, Ai-Hua Gu, Jian-Hua Qu, Ling Song and Xin-Ru Wang

#### □ 前列腺疾病

695 硼替佐米对人类前列腺肿瘤细胞株NK细胞介导的细胞毒性敏感性的影响 Wei Hu, Rui-Rui Zheng, Hui-Xia Cui, Dan Yue, Yong Wang and You-Hong Jiang

703 经活检确定的良性前列腺增生患者的前列腺体积估算:一种新的方程和诺谟图(包括体重在内) Yasukazu Nakanishi, Hitoshi Masuda, Satoru Kawakami, Mizuaki Sakura, Yasuhisa Fujii, Kazutaka Saito, Fumitaka Koga, Masaya Ito, Junji Yonese, Iwao Fukui and Kazunori Kihara

708 外科手术方式对前列腺癌组织标本基因表达的影响

Jie Li, Zhi-Hong Zhang, Chang-Jun Yin, Christian Pavlovich, Jun Luo, Robert Getzenberg and Wei Zhang

715 前列腺结石影响慢性前列腺炎患者抗感染治疗效果

Wei-Ping Zhao, Yong-Tao Li , Jun Chen, Zhi-Gen Zhang, Hai Jiang , Dan Xia , Shuo Wang and Ping Wang

720 经尿道绿激光汽化电切术与标准经尿道前列腺电切术治疗良性前列腺增生症的系统评价 Hui Ding, Wan Du, Ze-Ping Lu, Zhen-Xing Zhai, Han-Zhang Wang and Zhi-Ping Wang

726 前列腺癌与MDM2 T309G多态性的风险、恶性程度、临床进展:一个多态性分析 Jie Yang, Wen Gao, Ning-Hong Song, Wei Wang, Jie-Xiu Zhang, Pei Lu, Li-Xin Hua and Min Gu

732 酮康唑有效治疗去势抵抗性前列腺癌的相关预后因子: 谁可以受益于酮康唑治疗? Guo-Wen Lin, Xu-Dong Yao, Ding-Wei Ye, Yao Zhu, Shi-Lin Zhang, Bo Dai, Hai-Liang Zhang, Yi-Jun Shen and Chun-Guang Ma

738 在中国人群中验证美国前列腺癌预防试验和欧洲前列腺癌筛查随机研究的前列腺癌风险预测模型 Yao Zhu, Jin-You Wang, Yi-Jun Shen, Bo Dai, Chun-Guang Ma, Wen-Jun Xiao, Guo-Wen Lin, Xu-Dong Yao, Shi-Lin Zhang and Ding-Wei Ye

缺氧时转化生长因子-B1引起血管内皮生长因子A的分泌,诱导前列腺癌细胞的迁移并具有自分泌效应 745 Eric Darrington, Miao Zhong, Bao-Han Vo and Shafiq A Khan

752 小RNA96, 145和221的表达真的有助于预测前列腺癌吗?

Sung Gu Kang, Young Ran Ha, Seo Jin Kim, Seok Ho Kang, Hong Seok Park, Jeong Gu Lee, Jun Cheon and Chul Hwan Kim

#### 口 艾滋病

758 中国某艾滋病流行彝族社区青年偶遇性行为及伴发性关系现状分析 Yi Yang, Rong-Sheng Luan, Peng Liu, Chun-Lin Wu, Ying Zhou and Wen Chen

#### 口 内分泌

调节雌激素信号的遗传多态性与男性婴儿生殖器表型之间的关联: 一项初步研究

Sheela Sathyanarayana, Shanna H Swan, Federico M Farin, Hui-Wen Wilkerson, Michael Bamshad, Richard Grady, Chuan Zhou and Stephen M Schwartz

773 中国老年男性中血清性激素水平和良性前列腺增生程度之间的关系

Qin-Song Zeng, Chuan-Liang Xu, Zhi-Yong Liu, Hui-Qing Wang, Bo Yang, Wei-Dong Xu, Tai-Le Jin, Cheng-Yao Wu, Gang Huang, Zheng Li, Bo Wang and Ying-Hao Sun

#### 口 精子生物学

磷脂酰乙醇胺N-甲基转移酶和胆碱脱氢酶基因多态性与人类精子浓度相关

Leandros Lazaros, Nectaria Xita, Elissavet Hatzi, Apostolos Kaponis, Georgios Makrydimas, Atsushi Takenaka, Nikolaos Sofikitis, Theodoros Stefos, Konstantinos Zikopoulos, Ioannis Georgiou

#### 口 男性性功能

血管成形术和血栓溶解疗法治疗急性ST段抬高性心肌梗死后勃起功能障碍患病情况的比较 Ramazan Akdemir, Özlem Karakurt, Salih Orcan, Nihat Karakoyunlu, Mustafa Mucahit Balci, Levent Sagnak, Hamit Ersoy, Mehmet Bulent Vatan, Harun Kilic and Ekrem Yeter

#### 口 其他

788 Delta Np63基因沉默可上调膀胱肿瘤细胞株5637的细胞粘附能力

Yun-Feng He, Dai-Yin Tian, Zheng-Jin Yi, Zhi-Kang Yin, Chun-Li Luo, Wei Tang and Xiao-Hou Wu





为感谢广大读者和作者的厚爱、促进国内外学术交流与合作,《亚洲男性学杂志》特推出当期中文摘要翻译:

# 「综计

《亚洲男性学杂志》 2012; 14 (5): 670-675

ADT的骨骼并发症:疾病负担和治疗选择

Jacques Planas Morin and Juan Morote Robles (西班牙)

雄激素剥夺疗法是前列腺癌的标准治疗方法之一。基于我们目前对此疗法的适应症的了解越来越多,这种治疗方法的使用不断增加。尽管传统上认为雄激素剥夺有很好的耐受性,但也有副作用。其中骨矿量的减少特别明显,且可导致骨质疏松,增加骨折风险。有些骨折,如髋部骨折,可能会有严重的后果。骨密度测定等方法能够帮助诊断。一旦确诊,可以通过饮食、改变生活方式和药物来控制骨矿量的减少。本文综述了不同药物(双磷酸盐类药物,狄诺塞麦和托瑞米芬)对前列腺癌患者雄激素剥夺疗法治疗中,预防骨质流失和减少骨折风险的最重要的几个随机对照试验。并且提出以下建议,泌尿科医生必须仔细监控接受雄激素剥夺疗法治疗的前列腺癌患者的骨骼健康,从而可以早期诊断并采取合适的治疗措施。

关键词:雄激素剥夺疗法,二磷酸盐类,骨折,骨量减少,钙的摄入量,破骨细胞,骨质疏松症,前列腺癌 此摘要文献来源:

Jacques Planas Morin and Juan Morote Robles. Skeletal complications of ADT: disease burden and treatment options. *Asian J Androl* 2012;14: 670-5.

# 「论著

# □ 男性生育

《亚洲男性学杂志》 2012; 14 (5): 676-682

Y染色体基因*CDY2*和*HSFY*的缺失与美国男子非梗阻性无精子症的成熟停滞有关 Peter J Stahl, Anna N Mielnik, Christopher E Barbieri, Peter N Schlegel and Darius A Paduch (美国)

成熟停滞(MA)是指生殖细胞发育受阻导致临床非梗阻性无精症。尽管现有研究已明确人类Y染色体的无精症因子(AZF)区域与某些症状有关,但对于那些具体的对男性生殖细胞的完整发育至关重要的Y染色体基因尚知之甚少。本研究主要目的是探寻与美国人群非梗阻性无精症相关的Y染色体上可能的致病单基因。我们对132名男性Y染色体微缺失进行了基因型-表型分析。通过基因型-表型图谱的可视化分析,本研究发现与MA有关联的蛋白质编码基因。我们选定了Y染色体片段上的部分基因作为与MA相关的基因。当完全或部分敲除这些Y染色体片段时,MA和睾丸精子缺失就会发生。随后,我们在先天MA及梗阻性无精症患者的睾丸组织中用定量RT-PCR对每一个选定的基因转录物进行表达,从与AZFb区域重叠的一个8.4-Mb的Y染色体片段中选出十个与MA关联的候选基因。仅有基因CDY2和HSFY在MA和梗阻性无精症患者中的表达存在差异。与MA男性相比较,CDY2转录物在梗阻性无精症男性中的表达高出12倍(1.33±0.40 vs. 0.11±0.04; P=0.0003),HSFY转录物的表达高出16倍(0.78±0.32 vs. 0.05±0.02; P=0.0005)。同时,在患有单纯支持细胞综合征的患者中,CDY2和HSFY均呈现低表达。这些数据表明CDY2和HSFY位于对精子成熟非常重要的一个Y染色体片段中,并在MA男性的睾丸组织中低表达。以上结果表明CDY2或HSFY的表达障碍可能与MA发病相关。

关键词: CDY2蛋白,遗传学,组织学,HSFY,人类,男性不育症,非梗阻性无精子症,精子,精子成熟 此摘要文献来源:

Peter J Stahl, Anna N Mielnik, Christopher E Barbieri, Peter N Schlegel and Darius A Paduch. Deletion or underexpression of the Y-chromosome genes *CDY2* and *HSFY* is associated with maturation arrest in American men with nonobstructive azoospermia. *Asian J Androl* 2012;**14**: 676-82.

《亚洲男性学杂志》 2012; 14 (5):683-686

男性不育患者的精子数和精子性别比例研究

Michael L Eisenberg, Lata Murthy, Kathleen Hwang, Dolores J Lamb and Larry I Lipshultz (美国)

近年来,研究人员已经注意到许多工业化国家的男婴出生比例有下降趋势。决定性别的染色体由男性提供,因为还涉及到受精、流产,所以女性伴侣对性别比例的变化可能也有作用。我们试图通过直接检测精子性染色体的方法,确定男性第二代(F1代)的性别比例。我们研究了所有曾接受男性精液FISH(荧光原位杂交)的男性不育的诊疗数据。记录病人的人口统计学参数和精液参数。用卡方分析比较性别比率(Y染色体:染色体总数)。用多变量Logistic回归预测精液中Y染色体的几率。共有185人接受过精子的FISH。在整个人群中精子Y染色体的比例为51.5%。低于500万活动精子的男性的精子中的Y染色体比例(50.8%)比活动精子数多的男性的精子中的Y染色体比例(51.6%, P=0.02)要明显低一些。多变量调整后发现,较高的精子密度、总活动精子数和精液量可明显增加精子中Y染色体的比率(P<0.01)。若一个男人的精子产量下降,其精子中Y染色体的比例也会下降。因此,一个男人的生殖潜力可能可以预测其生育男性后代的能力。

关键词:不育,性别比例,精子发生,精子染色体 此摘要文献来源:

Michael L Eisenberg, Lata Murthy, Kathleen Hwang, Dolores J Lamb, Larry I Lipshultz .Sperm counts and sperm sex ratio in male infertility patients. *Asian J Androl* 2012;**14**: 683-6.

《亚洲男性学杂志》 2012; 14 (5): 687-690

中国先天性双侧输精管缺如患者*CFTR*基因poly-T、TG重复和M470V多态性分析 Wu-Hua Ni, Lei Jiang, Qian-Jin Fei, Jian-Yuan Jin, Xu Yang and Xue-Feng Huang (中国)

先天性双侧输精管缺如(CBAVD)是男性阻塞性无精子症的一个常见的重要病因。CBAVD患者大部分有囊性纤维化跨膜转运调节物(CFTR)基因的突变。 然而,在囊性纤维化(CF)发病率低的中国CBAVD人群中,其CFTR基因M470V、poly-T、TG重复的多态性以及F508del突变的情况还不清楚。我们应用PCR扩增及产物直接测序的方法,检测了109例中国CBAVD不育患者和104例正常对照CFTR基因M470V, poly-T, TG重复的多态性以及F508del突变的情况。结果显示,在检测的CBAVD患者中未见F508del突变。与对照人群相比,CBAVD患者中存在较高频率的5T突变,并且在携带5T突变的患者中,有97.22%的患者其5T与12或13TG重复相连。另外,单倍体型TG12-5T-V470与CBAVD的发生有着显著的相关性。在中国人群中,CFTR基因poly-T、TG重复和M470V多态性可能对CBAVD的发生有着一定的影响。

关键词:囊性纤维化跨膜转运调节物基因,先天性双侧输精管缺如,IVS8-5T,男性不育,M470V 此摘要文献来源:

Wu-Hua Ni, Lei Jiang, Qian-Jin Fei, Jian-Yuan Jin, Xu Yang *et al.* The *CFTR* polymorphisms poly-T, TG-repeats and M470V in Chinese males with congenital bilateral absence of the vas deferens. *Asian J Androl* 2012;**14**: 687-90.

《亚洲男性学杂志》 2012; 14 (5): 691-694

中国人口中*TP53*和*MDM2*基因变异与男性不育 Cong Huang, Wei Liu, Gui-Xiang Ji, Ai-Hua Gu, Jian-Hua Qu, Ling Song and Xin-Ru Wang (中国)

TP53是一种转录调节因子和肿瘤抑制因子,在精子的形成过程中发挥重要功能;MDM2为p53通路中调节p53活性的关键因子。这两种蛋白的功能均与生殖细胞的调亡相关,而生殖细胞的调亡可能影响生育。但目前这两个基因多态性对生殖细胞凋亡及男性不育影响的普遍性方面知之甚少。本研究主要探讨TP53中72Arg>Pro(rs1042522)与the Ex2+19C>T(rs2287498),MDM2中5'UTR 309T>G (rs937283)这三个点的多态性与男性先天不育的关联性。我们采用OpenArray基因分型方法,对包括580例不育病人和580例正常生育对照的病例-对照样本进行了研究。结果显示TP53 Ex2+19C>T和MDM2 309T>G的多态性与男性不育具有相关性。此外,我们采用相加模型对TP53 rs2287498与MDM2 rs937283交互作用进行了分析,结果近似具有统计学意义(P=0.055)。总之,本研究为TP53通路基因多态性与男性不育的相关性提供了初步证据。

关键词:细胞凋亡,男性不育,MDM2蛋白,多态性,TP53基因此摘要文献来源:

Cong Huang, Wei Liu, Gui-Xiang Ji, Ai-Hua Gu, Jian-Hua Qu et al. Genetic variants in TP53 and MDM2 associated with male infertility in Chinese population. Asian J Androl 2012;14: 691-4.

### □ 前列腺疾病

《亚洲男性学杂志》 2012; 14 (5): 695-702

硼替佐米对人类前列腺肿瘤细胞株NK细胞介导的细胞毒性敏感性的影响 Wei Hu, Rui-Rui Zheng, Hui-Xia Cui, Dan Yue, Yong Wang and You-Hong Jiang (中国)

蛋白酶体抑制剂——硼替佐米曾经被证实能够增强TRAIL介导的肿瘤细胞的凋亡。NK细胞代表了一类有效的抗肿瘤效应细胞,它们也表达TRAIL。因此,我们研究了硼替佐米是否能够增强肿瘤细胞对NK细胞介导杀伤作用的敏感性,以及是否在不同类型的人前列腺癌细胞系(LNCaP和DU145)中有相似的作用。我们发现,硼替佐米强烈抑制两种细胞系的增殖,而且DU145细胞对硼替佐米诱导的凋亡作用较LNCaP细胞更加敏感。但是,在短期分析中硼替佐米不能致敏两种细胞系对NK细胞介导的杀伤作用。在长效分析中,我们发现用硼替佐米处理肿瘤细胞后,激活的NK细胞诱导的抗肿瘤效应较单独应用硼替佐米或者NK细胞更高。另外,硼替佐米的处理上调了DU145细胞凋亡相关的mRNA和死亡受体水平,下调了DU145细胞表面MHC-I类分子水平。相对地,硼替佐米的处理对LNCaP细胞不敏感。在处理后的LNCaP细胞中死亡受体或MHC-I类分子也没有改变。这些数据表明,硼替佐米能够应用于致敏前列腺癌细胞对NK细胞介导的杀伤作用的敏感性,提高当前前列腺癌的治疗水平。而且这个治疗策略对雄激素非依赖性的前列腺癌患者更有效。

关键词: 硼替佐米, DU145细胞, 人类前列腺癌, LNCaP细胞, NK细胞 此摘要文献来源:

Wei Hu, Rui-Rui Zheng, Hui-Xia Cui, Dan Yue, Yong Wang. Effects of bortezomib in sensitizing human prostate cancer cell lines to NK-mediated cytotoxicity. *Asian J Androl* 2012;14: 695-702.

《亚洲男性学杂志》 2012; 14 (5): 703-707

经活检确定的良性前列腺增生患者的前列腺体积估算: 一种新的方程和诺谟图 (包括体重在内) Yasukazu Nakanishi, Hitoshi Masuda, Satoru Kawakami, Mizuaki Sakura, Yasuhisa Fujii, Kazutaka Saito, Fumitaka Koga, Masaya Ito, Junji Yonese, Iwao Fukui and Kazunori Kihara (日本)

研究表明,人体测量数据,如体重(BW)、身体质量指数(BMI)以及血清前列腺特异性抗原(PSA)和游离PSA百分比(%fPSA)等

#### 《亚洲男性学杂志》2012年14卷5期中文摘要

与前列腺总体积(TPV)呈正相关。本研究基于良性前列腺增生男性患者,综合考虑了上述预测因子,构建了一个估算TPV的公式和诺谟图。本项研究共有1852名男性参与,其中1113名来自东京医科齿科大学医院作为训练集;另外739名来自癌症研究所医院作为验证集,该组患者的PSA水平高达20 ng ml¹,均为经前列腺穿刺活检确诊的良性前列腺增生症患者。我们构建的这个连续编码的TPV公式和基于逻辑回归的诺谟图用以估算大于40 ml的TPV值。用曲线下面积(AUC)和校准曲线可以评估估算的准确度和操作特点。最终的线性回归模型将年龄、PSA、%fPSA和BW作为估算TPV的独立预测因子。在训练集的最终模型中,对PSA的多元相关系数从0.38增至0.60。同时,我们综合年龄、PSA、%fPSA和BW研发了一种估算大于40ml TPV的新型诺谟图。外部检验证实了该诺谟图预测的准确度,其AUC值为0.764。校准曲线显示预测概率和实测值之间的一致性很好。总而言之,运用这四种独立预测因素可以方便地估算TPV值。

关键词:体重,方程,诺谟图,预测,前列腺特异抗原,前列腺体积此摘要文献来源:

Yasukazu Nakanishi, Hitoshi Masuda, Satoru Kawakami, Mizuaki Sakura, Yasuhisa Fujii *et al.* A novel equation and nomogram including body weight for estimating prostate volumes in men with biopsy-proven benign prostatic hyperplasia. *Asian J Androl* 2012;**14**: 703-7.

《亚洲男性学杂志》 2012; 14 (5): 708-714

#### 外科手术方式对前列腺癌组织标本基因表达的影响

Jie Li, Zhi-Hong Zhang, Chang-Jun Yin, Christian Pavlovich, Jun Luo, Robert Getzenberg and Wei Zhang (中国)

目前治疗前列腺癌的手术方式主要为开放前列腺癌根治术和机器人辅助腹腔镜下前列腺癌根治术。手术方式的不同可能造成切除标本的分子水平的变化,这种变化对组织分子水平研究可能会产生一定影响。本实验的主要目的是探讨不同术式对RNA质量及基因表达谱的影响。通过比较腹腔镜手术组(11例)和开放手术组(24例)的总RNA来分析RNA完整度(RIN)。基因表达谱使用Agilent人类全基因表达芯片分析,不同术式的基因表达差异运用Volcano plot和基因表达谱分析方法。芯片结果运用实时定量PCR来验证独立的腹腔镜组(8例)和开放组(8例)中基因的表达。腹腔镜手术过程没有影响RNA的完整度。不同手术方式的基因表达差异仅集中在少部分基因上,但是这类基因的数量比预料的要少。这类差异基因包括编码转录因子、氧转运子以及其他文献报道的手术应激相关基因,且这些基因在腹腔镜组中表达量均较少。腹腔镜下前列腺癌根治术手术过程对RNA质量和基因组转录表达的影响是微不足道的。腹腔镜标本对应激反应的不敏感可能是这些应激相关基因在切除标本中表达降低的原因,可能是手术过程中CO<sub>2</sub>的吸收引起的,而不是由于更长的局部缺血时间所致。

关键字:  $CO_2$ 气腹,表达谱芯片,腹腔镜前列腺癌根治术,开放式前列腺癌根治术,前列腺癌,应激反应此摘要文献来源:

Jie Li, Zhi-Hong Zhang, Chang-Jun Yin, Christian Pavlovich, Jun Luo *et al.* Effect of surgical procedures on prostate tumor gene expression profiles. *Asian J Androl* 2012;**14**: 708-14.

《亚洲男性学杂志》 2012; 14 (5): 715-719

前列腺结石影响慢性前列腺炎患者抗感染治疗效果

Wei-Ping Zhao, Yong-Tao Li, Jun Chen, Zhi-Gen Zhang, Hai Jiang, Dan Xia, Shuo Wang and Ping Wang (中国)

前列腺结石是否影响慢性前列腺炎(CBP)抗感染效果目前尚无定论。本研究中包括101例(21-62岁)CBP患者,根据其经直肠超声检查结果将其分为CBP合并前列腺结石患者组(组1,39例)和CBP不伴有前列腺结石患者组(组2,62例)。所有患者接受对症的抗感染治疗4周,至少随访3个月(3~8月),并用NIH-CPSI及SGA评估患者症状改善情况。组1、组2在治疗结束时微生物铲除率分别为32/39(82.1%)和54/62(87.1%),在研究结束时持续铲除率分别为17/39(43.6%)和45/62(72.6%),二组存在显著差异(P<0.01)。组1总NIH-CPSI评分中位值从24降至19,组2从24降至11。抗感染治疗后,组2患者的疼痛症状、排尿症状及生活质量改善较组1明显。两组的NIH-CPSI总评分下降率分别为38.5%和58.1%(P<0.01)。研究结果显示,CBP患者中前列腺结石可影响抗感染治疗的效果,合并前列腺结石CBP患者的抗感染治愈率下降主要归因于治疗后微生物复发。

关键词: 抗菌药物, 慢性前列腺炎, 前列腺结石

此摘要文献来源:

Wei-Ping Zhao, Yong-Tao Li, Jun Chen, Zhi-Gen Zhang, Hai Jiang *et al.* Prostatic calculi influence the antimicrobial efficacy in men with chronic bacterial prostatitis. *Asian J Androl* 2012; **14**: 715-19.

《亚洲男性学杂志》 2012; 14 (5): 720-725

经尿道绿激光汽化电切术与标准经尿道前列腺电切术治疗良性前列腺增生症的系统评价 Hui Ding, Wan Du, Ze-Ping Lu, Zhen-Xing Zhai, Han-Zhang Wang and Zhi-Ping Wang (中国)

本研究的目的是系统评价经尿道绿激光汽化电切术与标准经尿道前列腺电切术治疗良性前列腺增生症的疗效。所有纳入的研究来自Cochrane Library, Pubmed 和 EMBASE 数据库。两位作者独立进行文献检索、质量评估和数据提取。主要评价指标包括最大尿流率  $(Q_{max})$ 、国际前列腺症状评分 (PSS)、残余尿 (PVR) 和生活质量评分 (QoL); 次要评价指标包括手术时间、住院时间、留置导尿时间和并发症。六个随机对照试验和五个病例对照研究共1398例病人符合纳入标准。荟萃分析结果表明在最大尿流率、国际前列腺症状评分、残余尿和生活质量评分方面没有不同之处 (均差~[MD]: 前列腺体积小于70 ml,  $Q_{max},$  MD=0.01, P=0.97; IPSS, MD=0.18, P=0.64; QoL, MD=-0.00, P=0.96; PVR, MD=0.52, P=0.43; 前列腺体积大于70 ml,  $Q_{max},$  MD=-3.46, P=0.33; IPSS, MD=3.11, P=0.36; PVR, MD=25.50, P=0.39)。跟标准经尿道前列腺电切术相比,经尿道绿激光汽化电切术有更短的住院时间和留置导尿时间,有更长的手术时间。对于前列腺体积小于70 ml的病人,经尿道绿激光汽化电切术比标准经尿道前列腺电切术有更少的输血率、穿孔率、电切综合症发生率和血块残留率。我们的结果表明经尿道绿激光汽化电切术是与标准经尿道前列腺电切术一样有效和安全的治疗前列腺增生症的技术,尤其对前列腺体积小于70 ml的病人。由于纳入研究所用的激光能量不同,所以未来需要更高质量的随机对照实验来证实我们的发现。

#### 《亚洲男性学杂志》2012年14卷5期中文摘要

关键词: 良性前列腺增生症,荟萃分析,选择性激光汽化,经尿道前列腺切除术 此摘要文献来源:

Hui Ding, Wan Du, Ze-Ping Lu, Zhen-Xing Zhai, Han-Zhang Wang *et al.* Photoselective green-light laser vaporisation *vs.* transurethral resection of the prostate for benign prostatic hyperplasia: meta-analysis after mid-term follow-up. *Asian J Androl* 2012; **14**: 720-25.

《亚洲男性学杂志》 2012; 14 (5): 726-731

前列腺癌与MDM2 T309G多态性的风险、恶性程度、临床进展: 一个多态性分析 Jie Yang, Wen Gao, Ning-Hong Song, Wei Wang, Jie-Xiu Zhang, Pei Lu, Li-Xin Hua and Min Gu (中国)

为探讨MDM2基因T309G多态性与前列腺癌(PCa)发病风险、恶性程度及临床进展间的关系,我们检索PubMed后,对全部7个已发表的相关研究进行了meta分析(共含5151个PCa病例和1003个对照)。在总体分析中,我们发现309G等位基因和低PCa发病风险显著相关(OR=0.85, 95% CI: 0.74-0.97),其中纯合子比较 GG vs. TT (OR=0.72, 95% CI: 0.55-0.95),优势遗传模型比较GT+GG vs. TT (OR=0.79, 95% CI: 0.65-0.96)。同时我们也发现309G等位基因也和更低肿瘤恶性度显著相关(OR=0.85, 95% CI: 0.75-0.96),其中杂合子比较GT vs. TT (OR=0.79, 95% CI: 0.65-0.96),纯合子比较GG vs. TT (OR=0.76, 95% CI: 0.58-0.98),优势遗传模型比较GT+GG vs. TT (OR=0.81, 95% CI: 0.68-0.96)。此外,分层分析显示309G等位基因在高加索人群中和低PCa发病风险显著相关(OR=0.77, 95% CI: 0.61-0.96),其中纯合子比较GG vs. TT (OR=0.51, 95% CI: 0.31-0.86)。通过分层分析,我们也发现在所有遗传学模型中309G等位基因在高加索人群中和PCa更低恶性度及更慢临床进展显著相关。综上所述,通过meta分析我们发现在高加索人群中MDM2基因309G等位基因和低PCa发病率、更低恶性度及更慢临床进展显著相关,但在亚洲人群中尚未发现显著相关性。

关键词: 临床进展,恶性程度,*MDM2*,萃取分析,多态性,前列腺癌,风险此摘要文献来源:

Jie Yang, Wen Gao, Ning-Hong Song, Wei Wang, Jie-Xiu Zhang *et al.* The risks, degree of malignancy and clinical progression of prostate cancer associated with the *MDM2* T309G polymorphism: a meta-analysis. *Asian J Androl* 2012; **14**: 726-31.

《亚洲男性学杂志》 2012; 14 (5): 732-737

酮康唑有效治疗去势抵抗性前列腺癌的相关预后因子: 谁可以受益于酮康唑治疗? Guo-Wen Lin, Xu-Dong Yao, Ding-Wei Ye, Yao Zhu, Shi-Lin Zhang, Bo Dai, Hai-Liang Zhang, Yi-Jun Shen and Chun-Guang Ma(中国)

我们探讨酮康唑有效治疗去势抵抗性前列腺癌 (mCRPC) 的相关预后因子。总计163名患者符合入选标准,均接受酮康唑200 mg-400 mg,每日三次联合替代剂量的泼尼松的治疗。疾病无进展时间 (PFS) 定义为从酮康唑开始治疗到疾病进展的时长。不同变量的预后价值通过Cox回归分析评估。该组患者中位PFS为2.6月 (范围0.5-8.6月)。酮康唑治疗期间血清睾酮水平动态变化:当前列腺特异抗原 (PSA) 下降,血清睾酮降低;反之,血清睾酮伴随PSA的升高而升高。PFS中位值与下述参数相关:PSA最低值 $\geq$ 0.2 ng ml¹与<0.2 ng ml¹组患者PFS中位值分别为1.4月和3.5月 (风险比为4.767, P<0.001);基线睾酮 $\geq$ 0.1 ng ml¹ 和<0.1 ng ml¹组患者PFS中位值分别为3.1月和1.6月 (风险比为2.865, P=0.012);基线血红蛋白 $\geq$ 120 g l¹和<120 g l¹组患者PFS中位值分别为2.8月和1.9月 (风险比为1.605, P<0.001);PSA倍增时间(PSADT) $\geq$ 2月和<2月组患者PFS中位值分别为3.0月和1.9月 (风险比为1.454, P=0.017);我们根据上述四个预测因子构建出一个风险模型,将患者分成低危组(0-1个预测因子)、中危组(2个预测因子)和高危组(3-4个预测因子),其PFS值分别为3.6月、3.0月和1.4月 (风险比为1.619, P<0.001)。PSA最低值 $\geq$ 0.2 ng ml¹、基线睾酮<0.1 ng ml¹、基线血红蛋白<120 g l¹以及PSADT<2月与较短的PFS有关。该风险模型为预测酮康唑治疗的生存获益提供了依据。

关键词:去势抵抗性前列腺癌,酮康唑治疗,预测,无进展生存期 此摘要文献来源:

Guo-Wen Lin, Xu-Dong Yao, Ding-Wei Ye, Yao Zhu, Shi-Lin Zhang *et al.* The prognostic factors of effective ketoconazole treatment for metastatic castration-resistant prostate cancer: who can benefit from ketoconazole therapy? *Asian J Androl* 2012; **14**: 732-7.

《亚洲男性学杂志》 2012; 14 (5): 738-744

在中国人群中验证美国前列腺癌预防试验和欧洲前列腺癌筛查随机研究的前列腺癌风险预测模型 Yao Zhu, Jin-You Wang, Yi-Jun Shen, Bo Dai, Chun-Guang Ma, Wen-Jun Xiao, Guo-Wen Lin, Xu-Dong Yao, Shi-Lin Zhang and Ding-Wei Ye (中国)

既往研究建立了许多统计模型用于预测前列腺穿刺的结果。这些工具许多都被设计用于西方人群,并未在不同人种中加以验证。因此,本研究目的为评估美国前列腺癌预防试验(PCPT)和欧洲前列腺癌筛查随机研究(ERSPC)的前列腺癌风险预测模型在中国人群中的预测效力。临床病理信息来源于495例在2009年1月至2011年3月间接受前列腺扩大范围穿刺的中国患者。前列腺癌和高级别病变(Gleason>6)的预测几率依据PCPT和ERSPC模型计算得出。通过统计参数、分辨度、校准度和临床价值来评价模型的效力。在整组患者中,28.7%被诊断为前列腺癌,19.4%具有高级别病变。相较于PCPT模型和PSA界值4 ng ml<sup>-1</sup>,ERSPC模型具有更好的预测穿刺阳性和高级别病变的分辨度(受试者工作特征曲线下面积分别为0.831和0.852,P均小于0.01)。决策曲线分析同样提示ERSPC模型在验证组中具有较好的临床价值。两个预测模型均出现了预测风险偏倚:在宽泛的预测几率范围内,前列腺癌和高级别病变的风险被高估了约20%。总而言之,在本组中国人群中,ERSPC模型预测前列腺癌和高级别病变的效力优于PCPT模型和PSA界值4 ng ml<sup>-1</sup>。然而,来源于西方人群的预测工具显著高估了中国人群穿刺发现前列腺癌和高级别病变的几率。

关键词: 欧洲前列腺癌筛查随机研究(ERSPC),测试的预测值,前列腺癌,前列腺特异性抗原(PSA),前列腺癌预防试验(PCPT) 此摘要文献来源:

Yao Zhu, Jin-You Wang, Yi-Jun Shen, Bo Dai, Chun-Guang Ma *et al.* External validation of the Prostate Cancer Prevention Trial and the European Randomized Study of Screening for Prostate Cancer risk calculators in a Chinese cohort. *Asian J Androl* 2012; **14**: 738-44.

《亚洲男性学杂志》 2012: 14 (5): 745-751

缺氧时转化生长因子-β1引起血管内皮生长因子A的分泌,诱导前列腺癌细胞的迁移并具有自分泌效应 Eric Darrington, Miao Zhong, Bao-Han Vo and Shafiq A Khan (美国)

低氧和转化生长因子-β1(TGF-β1)会增强血管内皮生长因子A(VEGFA)在一些恶性肿瘤中的表达,这种效应可能成为晚期前列腺癌肿瘤进展和转移的原因。在本研究中,TGF-β1在正常细胞株(HPV7和RWPE1)和前列腺癌细胞株(DU145和PC3)中均显示具有诱导VEGFA165分泌的效应。相反,仅在前列腺癌细胞株中观察到低氧刺激诱导的VEGFA165分泌。低氧诱导TGF-β1在PC3前列腺癌细胞中的表达,并且TGF-β1型受体(ALK5)激酶抑制剂部分阻断低氧介导的VEGFA165分泌。低氧的这种效应为提高VEGFA在前列腺癌细胞中的表达提供了一种新的机制。尽管在前列腺癌的进展和转移过程中涉及VEGFA的自分泌信号,但人们对其相关的机制尚知之甚少。VEGFA的活性通过VEGF受体(VEGFR)1(Flt-1)和2(Flk-1/KDR)进行调节。VEGFR-1 mRNA存在于正常前列腺上皮细胞,而VEGFR-2 mRNA和VEGFR蛋白仅表达于PC3细胞中。用VEGFA165处理会诱导PC3细胞中胞外信号调节激酶1/2(ERK1/2)的磷酸化,但这种效应在HPV7细胞中并未观察到,提示VEGFA的自分泌功能可能仅与前列腺癌相关。VEGFR-2经VEGFA165激活后会增强PC3细胞的转移。TGF-β1和低氧诱导内源性VEGFA后也观测到了类似的结果。这些结果说明,对于TGF-β1和低氧对转移性前列腺癌的致瘤影响而言,通过VEGFR-2的 VEGFA自分泌循环是关键。

关键词:细胞迁移,缺氧,前列腺癌,转化生长因子 $\beta$ 1(TGF- $\beta$ 1),血管内皮生长因子A(VEGFA) 此摘要文献来源:

Eric Darrington, Miao Zhong, Bao-Han Vo, Shafiq A Khan. Vascular endothelial growth factor A, secreted in response to transforming growth factor-b1 under hypoxic conditions, induces autocrine effects on migration of prostate cancer cells. *Asian J Androl* 2012;14: 745-51.

《亚洲男性学杂志》 2012; 14 (5): 752-757

小RNA96, 145和221的表达真的有助于预测前列腺癌吗?

Sung Gu Kang, Young Ran Ha, Seo Jin Kim, Seok Ho Kang, Hong Seok Park, Jeong Gu Lee, Jun Cheon and Chul Hwan Kim (韩国)

小RNA (miRs) 是一些小的非编码的RNA,已被报道可作为诊断工具。我们用实时定量反转录PCR (RT-qPCR) 分析了前列腺肿瘤样本中的小RNA的差异表达,以确定其预后价值。从2007年到2009年,我们收集了73个根治性前列腺切除术的肿瘤组织标本。用荧光定量RT-qPCR分析了这73个组织样本的miR-96,-145和-221的差异表达。采用Kaplan-Meier和Cox回归分析生化复发情况以评估预后价值。病人平均年龄64.7岁(50-76岁),平均前列腺特异抗原 (PSA) 浓度为7.5 ng ml¹。在随访期间 (平均为19.4个月),73个病人中的14个(19.2%)出现了生化复发。miR-96,-145和-221的表达在彼此之间有着很强的相关性,但miRNA表达和临床病理参数之间没有相关性。使用log-rank试验的Kaplan-Meier生存曲线显示生化复发间隔与病理分期成下降状态 (P<0.001)。此外,Gleason评分超过8的病人与Gleason分数6的相比,在Kaplan-Meier分析中生化无复发间隔也呈现下降状态。然而在Kaplan-Meier生存曲线或者采用Cox比例回归模型的多因素分析中miR-96,-145和-221的表达与生化复发间隔之间没有相关性。总之,我们没有观察到miR-96,-145和-221的表达与临床病理参数之间有相关性。在临床实践中要利用miRNA作为诊断工具,需要更多的研究来了解miRNA的机制,鉴定miRNA的靶标,并进一步阐明miRNA的功能。

关键词:小RNA,预后,前列腺癌,复发

此摘要文献来源:

Sung Gu Kang, Young Ran Ha, Seo Jin Kim, Seok Ho Kang, Hong Seok Park et al. Do microRNA 96, 145 and 221 expressions really aid in the prognosis of prostate carcinoma? Asian J Androl 2012;14: 752-7.

# 口 艾滋病

《亚洲男性学杂志》 2012; 14 (5): 758-765

中国某艾滋病流行彝族社区青年偶遇性行为及伴发性关系现状分析 Yi Yang, Rong-Sheng Luan, Peng Liu, Chun-Lin Wu, Ying Zhou and Wen Chen (中国)

中国四川省凉山彝族自治州艾滋病感染率较高,其传播途径从静脉吸毒转变为异性性行为传播。但是,关于凉山彝族(凉山人口以彝族为主)艾滋病经异性传播的专题研究较少。本研究拟阐述彝族村民"以个体为中心"的性网络特征,估计其偶遇性行为的发生率。我们对15~35岁、过去1年内有过性行为的彝族村民(n=108)进行问卷调查,获得他们的性行为和性网络信息,并通过个别深入访谈和专题小组讨论收集性行为社会规范的补充信息;随后,采用Logistic回归进行数据分析,计算优势比(OR)和95%置信区间(CI)。调查结果显示,大部分调查对象报告有过偶遇性行为,且66.7%存在多性伴现象。仅有21.3%报告曾使用过安全套。过去一年,总计137个性伴涉入153个性关系中。在所有报告的性关系中,67.3%开始的时候均为偶遇性关系。成员数≥3的性网络成员中,56.9%处于伴发性关系状态。未婚(OR: 2.11; 95%CI: 1.03-4.33)和年龄小(OR: 0.89; 95%CI: 0.83-0.95)者更易处于性网络成员数≥3的状态中。以个体为中心性网络的网络大小(OR: 2.99; 95%CI: 1.17-7.66),理论对子数(OR: 0.54; 95%CI: 0.39-0.74)和弱成分数(OR: 0.19; 95%CI: 0.06-0.67),以及性别均与是否处于伴发性关系状态相关。因此,四川彝族的艾滋病干预应重视伴发性关系问题,同时推广安全套的使用。

关键词: AIDS,中国,伴发性关系,以个体为中心,少数民族,HIV,性行为,性网络,彝族此摘要文献来源:

Yi Yang, Rong-Sheng Luan, Peng Liu, Chun-Lin Wu, Ying Zhou *et al.* Casual sex and concurrent sexual partnerships among young people from an Yi community with a high prevalence of HIV in China. *Asian J Androl* 2012;**14**: 758-65.

#### 口内分泌

《亚洲男性学杂志》 2012; 14 (5): 766-772

调节雌激素信号的遗传多态性与男性婴儿生殖器表型之间的关联:一项初步研究

Sheela Sathyanarayana, Shanna H Swan, Federico M Farin, Hui-Wen Wilkerson, Michael Bamshad, Richard Grady, Chuan Zhou and Stephen M Schwartz (美国)

影响男性生殖系统发育的基因的单核苷酸多态性(SNPs)与男性泌尿生殖系统异常之间的关系已经被确认。然而,目前尚无研究

#### 《亚洲男性学杂志》2012年14卷5期中文摘要

探讨SNPs与肛门生殖器距离(AGD)、肛门阴囊距离(ASD)和阴茎宽度(PW)等中间表型间的关系。本研究以"未来家庭研究"项目中的106名健康男婴为样本,探寻影响男性生殖器发育的8个基因中24种常见的SNPs是否与上述中间表型有关联。本研究使用口腔涂片DNA,运用协变量调整的线性回归模型来评估生殖器的测量值与SNP基因型间的关系。结果显示,位于雌激素受体alpha(ESR1)编码区的等位基因rs2077647G同较短AGD相关(P=0.02; -7.3 mm, 95%置信区间(CI): -11.6 mm至-3.1 mm);而位于活化转录因子3(ATF3)中3'端非编码区的等位基因rs10475 T与较短ASD相关(-4.3 mm, 95% CI:-7.2 mm至-1.4 mm)。然而这一结果经多重比较验证后并无显著差异(P=0.07)。在测试中我们发现PW和SNPs之间没有关联。另外,在男性生殖器发育期间调节雌激素信号的基因的两种SNPs的次要等位基因与AGD和ASD相关,但不是很显著。我们的结果表明,与尿道下裂、隐睾等明显的男性生殖系统异常症状相关的基因中的遗传因素会影响AGD和ASD。

关键词:基因,尿道下裂,男性,表型,多态性,生殖 此摘要文献来源:

Sheela Sathyanarayana, Shanna H Swan, Federico M Farin, Hui-Wen Wilkerson, Michael Bamshad *et al.* A pilot study of the association between genetic polymorphisms involved in estrogen signaling and infant male genital phenotypes. *Asian J Androl* 2012;**14**: 766-72.

《亚洲男性学杂志》 2012; 14 (5): 773-777

中国老年男性中血清性激素水平和良性前列腺增生程度之间的关系

Qin-Song Zeng, Chuan-Liang Xu, Zhi-Yong Liu, Hui-Qing Wang, Bo Yang, Wei-Dong Xu, Tai-Le Jin, Cheng-Yao Wu, Gang Huang, Zheng Li, Bo Wang and Ying-Hao Sun (中国)

良性前列腺增生症(BPH)是中老年男性中最常见的疾病之一。本研究主要评价分析中国中老年人血清性激素水平和前列腺增生(BPH)相关指标的关系。对于40岁以上的男性,BPH有关常规指标检测是本研究专科体检的免费项目,具体检查项目包括经直肠指检、血清前列腺特异抗原(PSA)检测、IPSS评分问卷和经直肠前列腺超声检查。同时,血清各个性激素水平也进行了检测,项目包括总睾酮(TT)、游离睾酮(FT)、性激素结合球蛋白(SHBG)、黄体生成素(LH)、促卵泡激素(FSH)、催乳素(PRL)和雌二醇(E2)。入组人群也进行了健康情况问卷调查并接受了详细的体格检查。最终的调查人数为949例,平均年龄58.9岁。皮尔森相关分析结果发现,除了TT之外,其他的性激素指标水平均与年龄相关。与年龄增长相关的因素还包括前列腺体积(PV: r=0.243; P<0.01)和IPSS评分(r=0.263; P<0.01)。该分析路径也发现IPSS与血清LH(r=0.112; P<0.01)和FSH(r=0.074, P<0.05)水平相关,然而,血清性激素和PV间未见明显的相关性。多变量线性回归模型提示年龄及体重指数(BMI)与PV具有良好的相关性(P<0.0001)。两者,该模型也提示年龄及PV与IPSS间同样有明显的相关性(P<0.0001)。然而,血清性激素水平却未发现与PV及IPSS相关。可见,为进一步明确并验证激素环境变化对BPH的生理病理影响,我们需要进一步开展包含各个程度的BPH患者在内的多中心的纵向的流行病学研究。

关键词:良性前列腺增生症,国际前列腺症状评分(IPSS),性激素,睾酮 此摘要文献来源:

Qin-Song Zeng, Chuan-Liang Xu, Zhi-Yong Liu, Hui-Qing Wang, Bo Yang *et al.* Relationship between serum sex hormones levels and degree of benign prostate hyperplasia in Chinese aging Men. *Asian J Androl* 2012;**14**: 773-7.

### □ 精子生物学

《亚洲男性学杂志》 2012; 14 (5): 778-783

磷脂酰乙醇胺N-甲基转移酶和胆碱脱氢酶基因多态性与人类精子浓度相关

Leandros Lazaros, Nectaria Xita, Elissavet Hatzi, Apostolos Kaponis, Georgios Makrydimas, Atsushi Takenaka, Nikolaos Sofikitis, Theodoros Stefos, Konstantinos Zikopoulos and Ioannis Georgiou (希腊)

胆碱是调节精子膜结构和流动性的关键因素,这一营养物质对精子的成熟及其授精能力都至关重要。磷脂酰乙醇胺N-甲基转移酶 (PEMT) 和胆碱脱氢酶 (CHDH) 是胆碱代谢的两种基本酶,在人类睾丸中发现了这两种酶的转录子,表明它们在睾丸中有基因表达。本文探讨了PEMT和CHDH基因突变体对精液参数的影响。研究共征募到200名少精症病人和250名正常男性。我们提取其精液中的DNA,对其中的 PEMT -774G>C和CHDH +432G>T多态性进行基因分型。PEMT -774G>C多态性的基因型分布在少精症病人和正常对照组之间无显著差异;而对于CHDH +432G>T多态性来说,少精症病人中的CHDH 432G/G基因型则远多于正常对照组 (62% vs. 42%, P<0.001)。在少精症病人及正常对照组中,同PEMT 774G/C 和 774C/C基因型相比,PEMT 774G/G基因型与较高精子浓度呈现关联性 (少精症病人: (12.5±5.6)×106 vs. (8.3±5.2)×106 ml<sup>-1</sup>, P<0.002;正常对照组:(81.5±55.6)×106 vs. (68.1±44.5)×106 ml<sup>-1</sup>, P<0.006)。另外,同CHDH 432G/T 和432T/T基因型相比,少精症病人和正常对照组的CHDH 432G/G基因型也与较高精子浓度呈现关联性 (少精症病人: (11.8±5.1)×106 vs. (7.8±5.3)×106 ml<sup>-1</sup>, P<0.003;正常对照组:(98.6±62.2)×106 vs. (58.8±33.6)×106 ml<sup>-1</sup>, P<0.001)。本研究的结果表明PEMT -774G>C和 CHDH +432G>T多态性与精子浓度相关,这一发现提示这些基因可能会影响精子质量。

关键词: 胆碱脱氢酶,男性不育,磷脂酰乙醇胺N-甲基转移酶,磷脂,精子浓度 此摘要文献来源:

Leandros Lazaros, Nectaria Xita, Elissavet Hatzi, Apostolos Kaponis, Georgios Makrydimas *et al.* Phosphatidylethanolamine N-methyltransferase and choline dehydrogenase gene polymorphisms are associated with human sperm concentration. *Asian J Androl* 2012;**14**: 778-83.

# □ 男性性功能

《亚洲男性学杂志》 2012; 14 (5): 784-787

血管成形术和血栓溶解疗法治疗急性ST段抬高性心肌梗死后勃起功能障碍患病情况的比较 Ramazan Akdemir, Özlem Karakurt, Salih Orcan, Nihat Karakoyunlu, Mustafa Mucahit Balci, Levent Sagnak, Hamit Ersoy, Mehmet Bulent Vatan, Harun Kilic and Ekrem Yeter (土耳其)

急性ST段抬高性心肌梗死的死亡率和患病率都较高。除了其它的健康问题之外,很多患者都面临勃起功能障碍的问题。在这项研究中,我们调查了血管成形术和血栓溶解疗法这两种不同的再灌注方法对急性心肌梗死后勃起功能障碍患病率的影响。71例患者符合入选标准,其中45名患者使用冠状动脉成形术与支架置入术治疗,另外26名患者使用血栓溶解剂治疗。在急性心肌梗死发生前和发生后6个月用国际勃起功

能指数评估病人的性功能。急性心肌梗死后勃起功能障碍的患病率与动脉血流恢复的时间有关。血管成形术组患者的急性心肌梗死后勃起功能障碍患病率增加了44.4%,溶栓治疗组患者增加了76.9%(P=0.008)。这项研究结果表明减少再灌注时间可降低勃起功能障碍的患病率,在降低急性心肌梗死后勃起功能障碍患病率上,血管成形术优于溶栓治疗。

关键词: 冠状动脉成形术,勃起功能障碍,纤维蛋白溶解,心肌梗死,心肌再灌注 此摘要文献来源:

Ramazan Akdemir, Özlem Karakurt, Salih Orcan, Nihat Karakoyunlu, Mustafa Mucahit Balci *et al.* Comparison between primary angioplasty and thrombolytic therapy on erectile dysfunction after acute ST elevation myocardial infarction. *Asian J Androl* 2012;**14**: 784-7.

#### 口其他

《亚洲男性学杂志》 2012; 14 (5): 788-792

Delta Np63基因沉默可上调膀胱肿瘤细胞株5637的细胞粘附能力 Yun-Feng He, Dai-Yin Tian, Zheng-Jin Yi, Zhi-Kang Yin, Chun-Li Luo, Wei Tang1and Xiao-Hou Wu (中国)

有研究表明delta Np63表达缺失可能与肿瘤的恶性行为有关。相反也有研究认为delta Np63可能是一种癌基因。Delta Np63的高表达可在鳞状上皮肿瘤和膀胱肿瘤中检测到。本文研究了delta Np63基因沉默,对膀胱移行细胞癌细胞粘附能力的影响和调控。5637细胞稳定转染delta Np63 shRNA特异性表达质粒。免疫荧光检测转染效率。检测5637细胞转染delta Np63 shRNA特异性表达质粒。免疫荧光检测转染效率。检测5637细胞转染delta Np63 shRNA特异性表达质粒后与血管内皮细胞的粘附能力。激光共聚焦显微镜检测F-actin和细胞骨架的改变。流式定量检测F-actin的改变。transwell小室检测细胞侵袭能力的改变。Delta Np63 shRNA基因沉默后,5637细胞与血管内皮细胞的粘附能力增强,F-actin的表达增加,细胞侵袭能力下降。Delta Np63基因沉默后,可能通过上调F-actin的表达来增强5637细胞与血管内皮细胞的粘附能力,从而阻止膀胱肿瘤的侵袭和转移。

关键词:膀胱移行细胞癌,细胞粘附, delta Np63 此摘要文献来源:

Yun-Feng He, Dai-Yin Tian, Zheng-Jin Yi, Zhi-Kang Yin, Chun-Li Luo et al. Upregulation of cell adhesion through delta Np63 silencing in human 5637 bladder cancer cells. Asian J Androl 2012;14: 788-92.

注:以上翻译有不到位处敬请谅解并欢迎指证!如需全文信息(英文)或相关科研信息,请与《亚洲男性学杂志》编辑部 联系。 E-mail: aja@sibs.ac.cn; Tel: 021-5492-2824; Fax: 021-5492-2825

# 写作小帮手新栏目

## 编者按

亲爱的读者们,承蒙你们的厚爱和帮助,《亚洲男性学杂志》的编辑有幸在过去几年中走出编辑部,在全国各地的各大院校、医院和各种学术会议上陆续举办了一些小型培训班,与大家面对面地分享SCI科技论文的写作、投稿和发表的方法和技巧,但常常因时间有限而无法全面展示。故自本期起,我刊特推出"写作小帮手"这一新栏目,以期与我们的热心读者和作者进行更有效和频繁的论文写作方面的交流。"写作小帮手"将以本刊的要求为主,同时引入国际相关期刊的特殊要求,围绕SCI科技论文的写作、投稿和发表这一主题,以专题(或系列专题)以及编辑答作者疑等多种形式从多个角度细致入微地帮助大家解决在SCI论文写作和投稿中遇到的困惑和问题,例如,如何选择一个好的标题、如何写好Abstract、如何培养英文写作的能力;论文投稿的技巧,如何巧妙地与编辑进行良好的互动等等。如果您遇到SCI论文写作问题,别忘了告诉 "写作小帮手",我们随时都愿意出手相助;如果您想把"写作小帮手"请到您身边,也请随时联系我们(aja@sibs.ac.cn)。

本期"写作小帮手"想告诉您的是——论文写作中的"一二三",即"一个原则","两个忌讳"和"三个建议"。

#### (1) 一个原则: 注意文章的逻辑顺序

- 写引言部分时,要由面及点,由大到小,从"大背景"聚焦到"本研究",呈"倒三角";
- 写讨论部分时,要由点及面,由小到大,从"本研究"扩散到"大背景",呈"正三角"。

#### (2) 两个忌讳

- 别人的结果和自己不一样时就不引用(杜绝"背道之驰")。科学论文重在横向比较,相似和相反的结果都应当正确引用,并展开合理对比分析;
- 别人的结果和自己的一样时,照抄(照搬"他山之石")。英文写作不同于中文的引用,同样的意思不能照抄原文,要理解意思并用自己的语言组织重写。

#### (3) 三个建议

- 努力说一个引人入胜的科技"故事";
- 精心想一个吸引眼球的"标题";
- 集中写一段"吊人胃口,绕梁三日"的"摘要"。

·VIII·